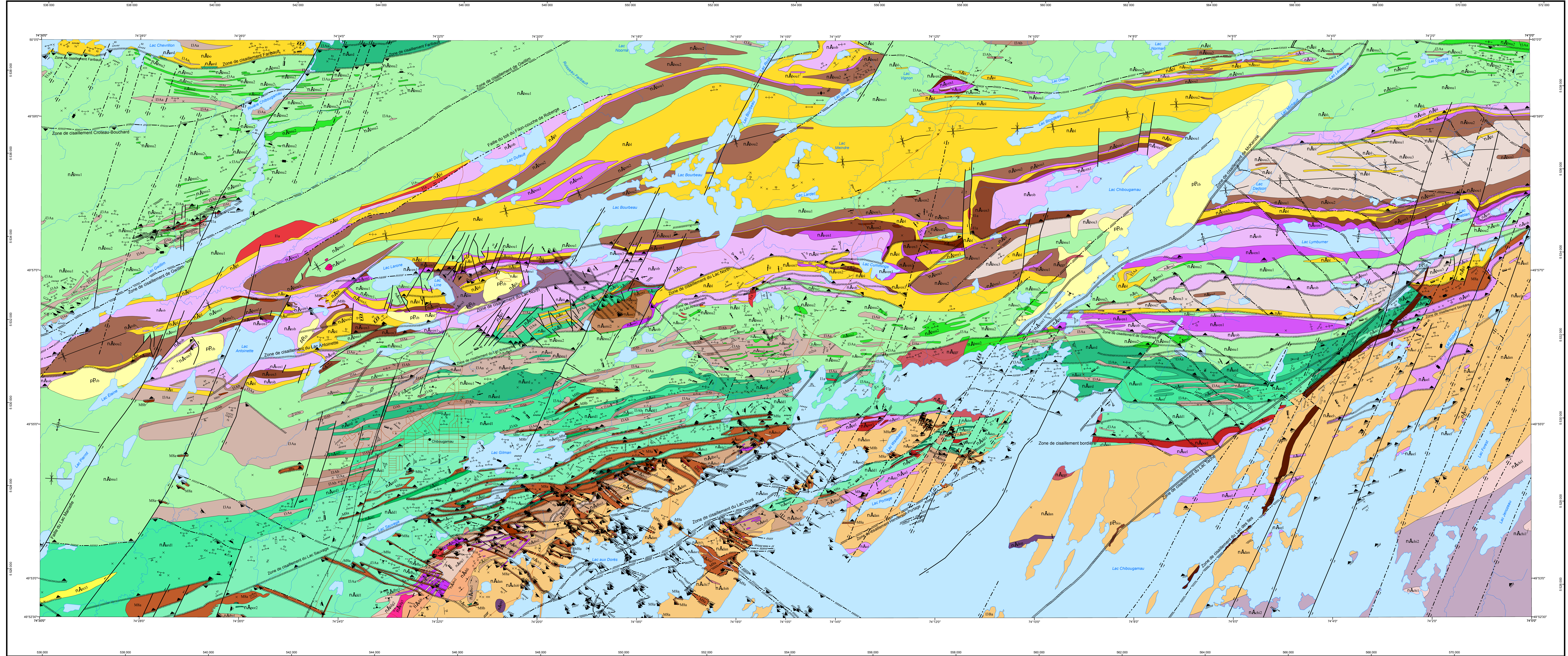


GÉOLOGIE DE LA RÉGION DE CHIBOUGAMAU

32G16-200-0201, 0202



Métadonnées
 Surface de référence géodésique : Ellipsoïde GRS 80
 Système de référence géodésique : NAD 83 compatible avec le système mondial WGS 84
 Projection cartographique : Mercator transverse universelle (MTU), fuseau 18
 Longitude d'origine : 74° 15'
 Latitude d'origine : 0°
 Échelle : 1:50 000

Sources
 Données : Ministère de l'Énergie et des Ressources naturelles (MERN) - Base de données géologiques (BDG) à l'échelle de 1:250 000
 Base de données topographiques et administratives à l'échelle de 1:250 000 (BDTA 250k) : Ministère de l'Énergie et des Ressources naturelles

Réalisation
 Géologie : François Leclerc, Patrick Roy, Patrick Houle, Sophie Turcotte (2016)
 Références : Allard, G.O. (1976) - DVP 368; Bouchard, G. (1999) - TR 1365; Côté-Mintha, G. (2009) - Thèse de doctorat, UQAC; Daigneault, R. (1986) - DVP 85-19; Duquette, G. (1982) - DVP 82-7; Henry, R.L., Allard, G.O. (1979) - DVP 593
 Assistance technique : Stéphanie Beaujeux, Julie Sauvageau, Kathleen O'Brien
 Production : Ministère de l'Énergie et des Ressources naturelles, Directeur général de Géologie Québec
 Diffusion : Ministère de l'Énergie et des Ressources naturelles, Direction de l'information géologique du Québec
 Le présent document n'a aucune portée légale.
 Dépôt légal : Bibliothèque et Archives nationales du Québec
 © Gouvernement du Québec, 2^e trimestre 2017

PROVINCE DU SUPÉRIEUR SOUS-PROVINCE DE L'ABITIBI NÉDARCHÉEN

PALEOPROTÉROZOÏQUE

Dykes de Biscasset (2167 Ma, Buchan et al., 1993)
 nA5m1 Gabbro
 nA5m2 Essai de dykes du Chef (2408 ± 23 Ma, Ciborowski et al., 2014)
 nA5m3 Gabbro, gabbro quartzifère
 nA5m4 Formation de Chibougamau
 pE5b Anorthosite, conglomérat polygénique et claystone

Stock de Grandroy
 nA5m5 Granodiorite

Stock du Lac Line (2707,6 ± 1,4 Ma, Côté-Mintha, 2009)
 nA5m6 tonalite et syénite

Pluton de Chibougamau (2718 Ma - 2702 Ma, Krogh, 1982; Plote et al., 1997; McConico et al., 2005; David et al., 2011)
 nA5m7 Dyke de tonalite complètement séricité (dyke acide)
 nA5m8 Dyke de diorite quartzifère, tonalite porphyrique (dyke gris)
 nA5m9 Dyke de gabbro et de diorite (dyke mafique et intermédiaire)
 nA5m10 Tonalite avec quantité subordonnée de diorite à hornblende et de diorite quartzifère à hornblende, recoupées par des dykes de tonalite et de diorite porphyrique
 nA5m11 Diorite à hornblende et diorite quartzifère à hornblende avec quantité subordonnée de tonalite à biotite et hornblende et trondhjemite, recoupées par des dykes de tonalite et de diorite porphyrique

Intrusion de composition mafique à ultramafique

Suite intrusive de Cummings

Filon-couche de Bourbeau (2716,7 ± 0,4 Ma, Mortensen, 1993)
 nA5m12 Ferrogabbro et ferrodiorite quartzifères à structure granophyrique
 nA5m13 Diorite et gabbro quartzifère
 nA5m14 Gabbro et ferrogabbro
 nA5m15 Gabbro et ferrogabbro
 nA5m16 Websterite

Filon-couche de Ventures
 nA5m17 Gabbro granophyrique, wuogabbro
 nA5m18 Gabbro optique
 nA5m19 Périroste, websterite, pyroxénite

Filon-couche de Roberge
 nA5m20 Péridotite, gabbro, pyroxénite et diorite

Filon-couche de Smith
 nA5m21 Gabbro et diorite quartzifère
 nA5m22 Gabbro et gabbrotonite
 nA5m23 Clinopyroxénite

Suite intrusive du Lac Doré

Unité supérieure

zone de bordure du Lac Doré
 nA5m24 Zone d'albitisation à sidérite avec localement pyrite, chalcopryrite et talc
 nA5m25 Pyroxénite

zone granophyrique du Lac Doré (2728,0 ± 1,3 Ma, Mortensen, 1993)
 nA5m26 Websterite
 nA5m27 Granodiorite riche en quartz granophyrique

Unité inférieure

zone litée (2728,3 ± 1,2-1,1 Ma)
 nA5m28 Quartz, surite à magnétite, péridotite, pyroxénite, gabbro, gabbro à magnétite et magnétite vacuolaire
zone de ferrodiorite
 nA5m29 Diorite, gabbro, pyroxénite

Unité inférieure sous-zone péridotitique
 nA5m30 Péridotite, pyroxénite et gabbro
zone anorthositique
 nA5m31 Anorthosite, gabbro

Groupe de Roy

Formation de Boredeau
 nA5m32 Anorthosite felsitique, arkose, muscovite, conglomérat polygénique et tuf à facies de composition intermédiaire
Formation de Blondeau (< 2713 Ma, Leclerc et al., 2012)
 nA5m33 Basalte andésitique, muscovite granophyrique, muscovite et conglomérat
 nA5m34 Basalte et basalte andésitique variés

Formation de Brunau (2724,4 ± 1,2 Ma, Davis et al., 2014)
 nA5m35 Roche volcanoclastique de composition andésitique
 nA5m36 Basalte et basalte andésitique, amphibolite

Formation de Waconichi

Membre d'Allard (2726,7 ± 0,7 Ma, Leclerc et al., 2011)
 nA5m37 Roche volcanoclastique de composition basaltique à dacitique; andésite à diorite, massifs laminés, chert, exhalite

Membre de Portage
 nA5m38 Roche volcanoclastique de composition intermédiaire à felsique à magnétite domminante

Membre de Scott (2728,2 ± 0,8 Ma, Leclerc et al., 2011)
 nA5m39 Dacite

Formation d'Obotaguem

Membre de David
 nA5m40 Dièche de coulée et hyaloclastite andésitiques
 nA5m41 Basalte andésitique

PROTÉROZOÏQUE

NÉDARCHÉEN

Dyke de diabase et de gabbro
 nA5m42 Dyke de diabase et de gabbro

Intrusion felsique à phénocrastes de plagioclase ou à phénocrastes de plagioclase et de quartz
 nA5m43 Gabbro à clinopyroxène-biotite-actinolite et localement pyroxénite

Gabbro à chortite hornblende à quartz
 nA5m44 Gabbro à chortite hornblende à quartz

Schiste à séricite, chlorite, ankerite avec localement sidérite, chlorite, carbonate, pyrite, chalcopryrite
 nA5m45 Schiste à séricite, chlorite, ankerite avec localement sidérite, chlorite, carbonate, pyrite, chalcopryrite

Schiste à chlorite avec localement séricite, carbonate, sidérite, pyrite, chalcopryrite
 nA5m46 Schiste à chlorite avec localement séricite, carbonate, sidérite, pyrite, chalcopryrite

Les symboles et abréviations utilisés sur cette carte sont décrits dans la publication DV 2114-06 du ministère de l'Énergie et des Ressources naturelles.

32G16-200-0201, 0202
 RG 2015-03-C001

Carte de rapport RG 2015-03
 Pour obtenir les données les plus récentes concernant cette région, nous vous recommandons de consulter les produits géologiques du Système d'information géologique du Québec (SIGÉOM).

Localisation

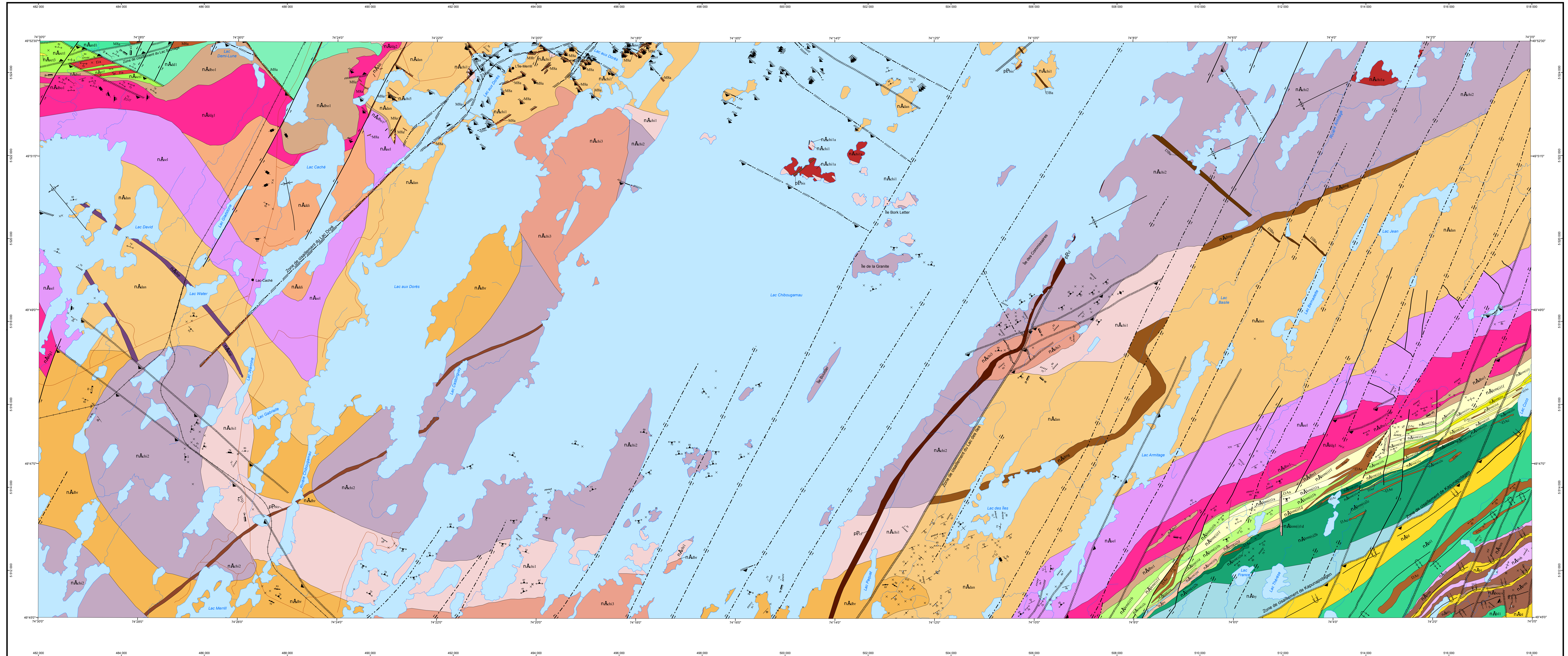
2015-03-01 2015-03-02 2015-03-03 2015-03-04
 2015-03-05 2015-03-06 2015-03-07 2015-03-08
 2015-03-09 2015-03-10 2015-03-11 2015-03-12

SIGÉOM
 Système d'information géologique du Québec

Énergie et Ressources naturelles Québec

GÉOLOGIE DE LA RÉGION DE CHIBOUGAMAU

32G16-200-0101, 0102



Métadonnées

Surface de référence géodésique : Ellipsoïde GRS 80
 Système de référence géodésique : NAD 83 compatible avec le système mondial WGS 84
 Projection cartographique : Mercator transverse universelle (MTU), fusée 18
 Longitude d'origine : 74°10'
 Latitude d'origine : 0°

Sources

Données : Ministère de l'Énergie et des Ressources naturelles (BDA) échelle 1/100 000
 Base de données topographiques et administratives à l'échelle de 1:250 000 (BDTA 250k)

Organisme : Ministère de l'Énergie et des Ressources naturelles

Réalisation : François Lederc, Patrice Roy, Patrick Houle, Sophie Turcotte (2016)

Références : Altair, G.O. (1976). DFPV 368
 Bourard, G. (1980). TH 1303
 Côté-Morin, D. (2000). Thèse de doctorat, UQAC
 Daigneault, R. (1980). DV 85-19
 Duchette, G. (1982). DFPV 827
 Henry, R.L., Allard, G.O. (1979). DFPV 593

Assistance technique : Stéphane Beauséjour, Julie Sauvageau, Kathleen O'Brien

Production : Ministère de l'Énergie et des Ressources naturelles
 Direction générale de Géologie Québec

Diffusion : Ministère de l'Énergie et des Ressources naturelles
 Direction de l'information géologique du Québec

Le présent document n'a aucune portée légale.
 Dépôt légal : Bibliothèque et Archives nationales du Québec
 © Gouvernement du Québec, 2^e trimestre 2017

LÉGENDE STRATIGRAPHIQUE

PALEOPROTÉROZOÏQUE

Dykes de Biscotasing (2167 Ma, Buchan et al., 1993)
 pBiscot Gabbro

Essaim de dykes du Chef (2408 ± 13 Ma, Ciborowski et al., 2014)
 pBiscot Gabbro, gabbro quartzifère

**PROVINCE DU SUPÉRIEUR
 SOUS-PROVINCE DE L'ABITIBI
 NÉDARCHÉEN**

zone de brèche du Pluton de Chibougamau
 nAchi Anorthosite, gabbro et diorite de la Suite intrusive du Lac Doré fragmentés et injectés par la diorite, la tonalite, la trondhjemite du Pluton de Chibougamau

Pluton de Chibougamau (2718 Ma - 2702 Ma, Krogh, 1982; Pilote et al., 1997; McNeill et al., 2006; David et al., 2016)
 nAchi1 Diorite à gabbro et diorite (dike mafique et intramédian)
 nAchi2 Trondhjemite et trondhjemite porphyrique (leucocratales)
 nAchi3 Tonalite avec quantité subordonnée de diorite à hornblende et de diorite quartzifère à hornblende, recoupée par des dykes de tonalite et de diorite porphyrique
 nAchi4 Diorite à hornblende et diorite quartzifère à hornblende avec quantité subordonnée de tonalite à biotite et hornblende et trondhjemite, recoupée par des dykes de tonalite et de diorite porphyrique
 nAchi5 Diorite à hornblende

Intrusion de composition mafique à ultramafique

Suite intrusive de Camming
 nAchi6 Filon-couche de Bourbeau Gabbro, leucogabbro, diorite, gabbro à quartz et pyroxénite
 nAchi7 Filon-couche de Ventures Gabbro et pyroxénite
 nAchi8 Filon-couche de Roberge Péridotite, gabbro, pyroxénite et dunite

Suite intrusive du Lac Doré

Unité supérieure

zone de bordure du Lac Doré
 nAchi9 Gabbro, anorthosite, pyroxénite

zone granophyrique (2728,3 ± 1,2; 1,1 Ma, Mortensen, 1993)
 nAchi10 Gabbro quartzifère
 nAchi11 Granitoïde riche en quartz granophyrique

Unité inférieure

zone liée (2727 ± 1,3 Ma, Mortensen, 1993)
 nAchi12 Dunite, dunite à magnétite, péridotite, pyroxénite, gabbro, gabbro à magnétite et magnétite vanadifère

zone de ferrodunite
 nAchi13 Diorite, gabbro, pyroxénite

Unité inférieure

sous-zone périodotitique
 nAchi14 Péridotite, pyroxénite et gabbro

zone anorthositique
 nAchi15 Anorthosite, gabbro

sous-zone de magnétite
 nAchi16 Gabbro, pyroxénite à magnétite

Groupe d'Oplémisca

Formation de Hally
 nAchi17 Congrimental polygénique, subarkose, claystite, basalte et tarchite porphyrique

Groupe de Roy

Formation de Blondeau
 nAchi18 Volcanoclastes felsiques, pyroclaste, basalte varié, basalte andésitique, mudstone granitique, mudrock et conglomérat

Formation de Wacouché
 nAchi19 Basalte et basalte andésitique

Membre d'Alford
 nAchi20 Andésite, dacite

Membre de Scott
 nAchi21 Dacite

Membre de Lemoine
 nAchi22 Andésite

Unité supérieure du membre de Lemoine (2727,7 ± 1,4-1,6 Ma, Mortensen, 1993)
 nAchi23 Diorite
 nAchi24 Dacite porphyrique

Unité inférieure du membre de Lemoine (2728,0 ± 1,5-1,4 Ma, Mortensen, 1993)
 nAchi25 Andésite et dacite avec 2 à 10 % de phénocristaux de quartz d'un diamètre de 2 à 6 mm et 3 à 10 % de phénocristaux de plagioclase d'un diamètre de 1 à 5 mm
 nAchi26 Dacite porphyrique avec 7 à 8 % de phénocristaux de quartz d'un diamètre de 1 à 2 mm et 3 à 7 % de phénocristaux de plagioclase d'un diamètre de 1 à 3 mm
 nAchi27 Basalte, andésite et roches volcanoclastiques dérivées
 nAchi28 Dacite, pyroxène et roches volcanoclastiques dérivées
 nAchi29 Dacite et myélite porphyriques avec 2 à 8 % de phénocristaux de quartz d'un diamètre de 1 à 2 mm, roches volcanoclastiques dérivées
 nAchi30 Dacite, contient de 2 à 10 % de phénocristaux de quartz d'un diamètre de 2 à 6 mm et 3 à 10 % de phénocristaux de plagioclase d'un diamètre de 1 à 5 mm

Groupe de Roy

Formation d'Obotogamau
 Membre de David
 nAchi31 Basalte andésitique

LÉGENDE LITHOLOGIQUE

PROTÉROZOÏQUE

Dyke de diabase et de gabbro

NÉDARCHÉEN

Intrusion felsique à phénocristaux de plagioclase ou à phénocristaux de plagioclase et de quartz

Gabbro à clinopyroxène-trondhjemite-actinolite et localement pyroxénite

Gabbro, diorite, leucogabbro, localement pyroxénite

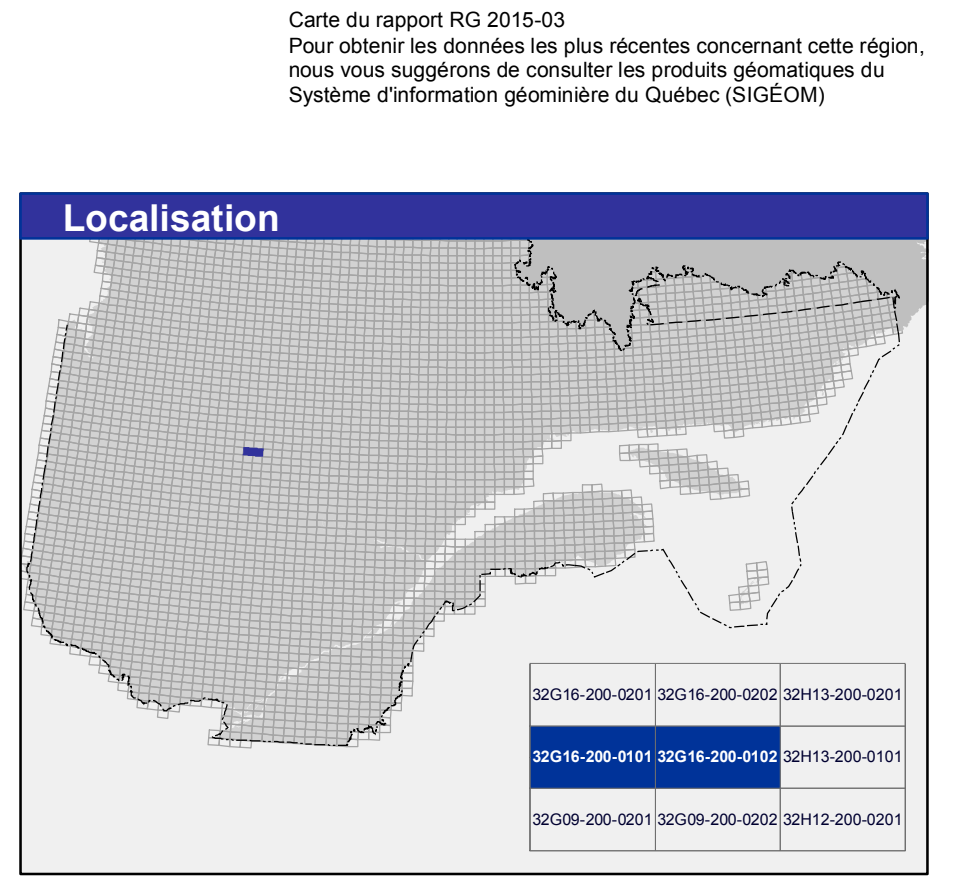
Schistes à gabbro, chlorite, amibite avec localement sédiments, chloritite, carbonates, pyrite, chalcopryte

Schistes à chlorite avec localement sédiments, carbonates, sédiments, pyrite, chalcopryte

Les symboles et abréviations utilisés sur cette carte sont décrits dans la publication DV 2014-06 du ministère de l'Énergie et des Ressources naturelles.

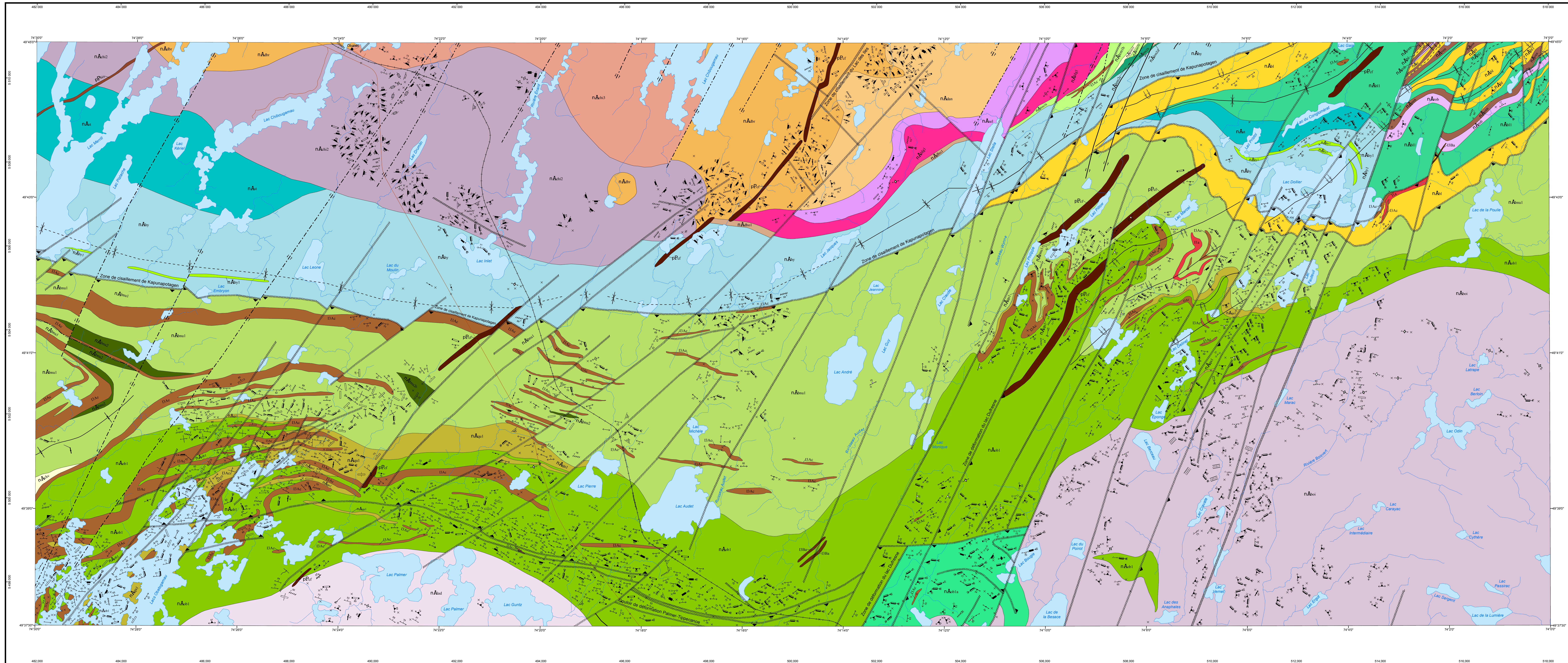
32G16-200-0101, 0102

RG 2015-03-C002



GÉOLOGIE DE LA RÉGION DE CHIBOUGAMAU

32G09-200-0201, 0202



Surface de référence géologique : Époque GRS 80
 Système de référence géodésique : NAD 83 compatible avec le système mondial WGS 84
 Projection cartographique : Mercator transverse universelle (MTU), fuseau 18
 Longitude d'origine : 74°15'
 Latitude d'origine : 0°

0 0.75 1.5 2.25 3 km
 1:50 000

Sources

Données	Organisme
Base de données pour aménagement du territoire (DAT) échelle 1:100 000	Ministère de l'Énergie et des Ressources naturelles
Base de données topographiques et administratives à l'échelle de 1:50 000 (BDTA 250k)	Ministère de l'Énergie et des Ressources naturelles

Réalisation

Géologie : François Leclerc, Patrice Roy, Patrick Houle, Sophie Turcotte (2016)

Références :
 Albert, G.O. (1976) - DPV 268
 Bouchard, G. (1980) - TH 1305
 Côté-Martin, D. (2005) - Thèse de doctorat, UQAC
 Desjardins, R. (1989) - DPV 85-19
 Dupont, G. (1982) - DPV 83
 Henry, R.L., Albert, G.O. (1979) - DPV 593
 Racicot, D. (1980) - DPV 159
 Racicot, D. (1981) - DPV 834
 Ross, P.S., Bourne, A., Leclerc, F., Bouchard, A. (2014) - MB 2014-05
 Thibault, P., Desjardins, R. (1984) - DP 85-11
 Trudon, Y. (1981) - TH 1385

Assistance technique : Stéphanie Beauséjour, Julie Sauvageau, Kathleen O'Brien
 Production : Ministère de l'Énergie et des Ressources naturelles, Direction générale de Géologie Québec
 Diffusion : Ministère de l'Énergie et des Ressources naturelles, Direction de l'information géologique du Québec

Le présent document n'a aucune portée légale
 Dépôt légal - Bibliothèque et Archives nationales du Québec
 © Gouvernement du Québec, 2^e trimestre 2017

LÉGENDE STRATIGRAPHIQUE

PALÉOPROTÉROZOÏQUE	
	Gabbro
	Gabbro, gabbro-quartzite
PROVINCE DU SUPÉRIEUR SOUS-PROVINCE DE L'ABITIBI NÉOARCHÉEN	
	Tonnelite et granodiorite
	Anorthosite, gabbro et diorite de la Suite intrusive du Lac Doré fragmentées et mylonitiques par la dorsale, la zone orthoïte du Pluton de Chibougamau
	Trochilite et brachiopode porphyrique (leucocrates)
	Tonnelite avec quantité subordonnée de diorite à hornblende et de diorite quartzière à hornblende, recoupée par des dykes de tonalite et de diorite porphyrique
	Tonnelite et granodiorite
Suite intrusive de Cumming	
	Gabbro et pyroxénite
	Péridotite, gabbro, pyroxénite et durite

Suite intrusive de Lac Doré	
	zone supérieure
	Gabbro, anorthosite, pyroxénite
	zone granophyrique (2728.3 +1,21-1.1 Ma, Mortensen, 1993)
	Granulite riche en quartz granophyrique
	zone inférieure
	Durite, durite à magnétite, péridotite, pyroxénite, gabbro, gabbro à magnétite et magnétite variscite
	zone anorthoitique
	Anorthosite, gabbro
Groupe de Roy	
	Formation de Hely (2691,7 ±2,9 Ma, David et al., 2007)
	Conglomérat polygénique, subarkose, claystone, basalte et trachyte porphyrique
	Andésite potassique à structure porphyrique
	Formation de Stella (2704 ±2 Ma, Leclerc et al., 2012)
	Subarkose, claystone, conglomérat polygénique
	Basalte et basalte andésitique
	Formation de Brunneau (2744 ±1,2 Ma, Davis et al., 2014)
	Roche volcanoclastique de composition andésitique
	Basalte et basalte andésitique, amphibolite

Groupe de Roy	
Formation de Wacoussis	
	Roche volcanoclastique mafique à felsique, rhyodacite
Membre de Lemoine	
	Diorite
	Dacite porphyrique
	Basalte à andésite
Unité inférieure du membre de Lemoine	
	Andésite et dacite avec 2 à 10 % de phénocristes de quartz d'un diamètre de 2 à 6 mm et 3 à 10 % de phénocristes de plagioclase d'un diamètre de 1 à 5 mm
	Dacite et myélite porphyriques avec 2 à 5 % de phénocristes de quartz d'un diamètre de 1 à 2 mm, roches volcanoclastiques dérivées
Membre de Charvet	
	Dacite porphyrique, tuf à blocs et à lapillis intermédiaire, intrusion felsique
Formation d'Obatogamau	
	Basalte andésitique
	Amphibolite à grenat et clinopyroxène
LÉGENDE LITHOLOGIQUE	
PROTÉROZOÏQUE	
	Dyke de diabase et de gabbro
NÉOARCHÉEN	
	Intrusion felsique à phénocristes de plagioclase ou à phénocristes de plagioclase et de quartz
	Gabbro, diorite, leucogabbro, localement pyroxénite

Les symboles et abréviations utilisés sur cette carte sont décrits dans la publication DV 2014-06 du ministère de l'Énergie et des Ressources naturelles.

32G09-200-0201, 0202
 RG 2015-03-C003

